

Mikrostruktura in magnetne lastnosti zlitin v sistemu Sm-Fe-Ta

Microstructure and Magnetic Properties of Sm-Fe-Ta Based Alloys

B. Saje, Iskra-Magneti, Stegne 37, 61000 Ljubljana, Slovenija;

Inštitut Jožef Stefan, Jamova 39, 61000 Ljubljana, Slovenija

S. Kobe-Besenčar, Z. Samardžija D. Kolar, Inštitut Jožef Stefan, Jamova 39, 61000 Ljubljana, Slovenija

A.E. Platts, I.R. Harris, School of Metallurgy and Materials, University of Birmingham, Birmingham, B 15 2TT, UK

Z elektronsko mikroanalizo mikrostrukture in termomagnetno analizo so bile preiskane zlitine s sestavo $Sm_2Fe_{17-x}Ta_x$ ($0 < x < 2$). Opisan je postopek priprave Sm_2Fe_{17} -faze, ki se uporablja za pripravo trdomagnetne spojine $Sm_2Fe_xN_{3-y}$, v litem stanju z nizko vsebnostjo prostega mehkomagnetnega železa. Fazna modifikacija je bila dosežena z dodatkom 5 at% Ta, ki v nominalni sestavi Sm_2Fe_{17} zamenjuje železo. Tako dobljena zlita je v litem stanju dvofazna in vsebuje Sm_2Fe_{17} -fazo in Pauli paramagnetho $TaFe_2$ heksagonalno Lavesovo fazo. Vsebnost preostalega prostega železa v litri strukturi se giblje okoli 0.5 wt.%, kar je bilo ugotovljeno z izotermalno magnetno analizo. S termomagnetno analizo vzorcev je bilo ugotovljeno, da obstaja območje trdne topnosti Ta v Sm_2Fe_{17} -fazi, zaradi česar se Curiejeva temperature te faze zviša.

Ključne besede: Sm-Fe-Ta, zlitine trajnih magnetov, spojine redkih zemelj in prehodnih elementov, elektronska mikroanaliza

The microstructure and magnetic properties of $Sm_2Fe_{17-x}Ta_x$ ($0 < x < 2$) cast alloys were investigated by means of electron probe and thermomagnetic analysis. A process for obtaining the Sm_2Fe_{17} phase free of iron in the as-cast state is described. The method consists of adding 4 to 5 at.% of Ta in the melt. By this addition a two phase structure of the as-cast ingots consisting of Sm_2Fe_{17} phase and Pauli paramagnetic $TaFe_2$ hexagonal Laves phase can be obtained. Approximately 0.5 wt.% of free iron in the cast ingot with 5 at.% of Ta addition was found by isothermal magnetic analysis. It was also shown that there is some solid solubility of Ta in the Sm_2Fe_{17} phase, which results in enhancement of the Curie temperature.

Key words: Sm-Fe-Ta, permanent magnets alloys, rare earths-transition metal compounds, electron probe microanalysis

1 Uvod

Nitridi binarnih intermetalnih spojin redkih zemelj (R) in prehodnih elementov (M) so novi feromagnetni materiali, ki so se prvič pojavili v strokovni literaturi leta 1990¹. Po mnenju strokovnjakov predstavljajo magnetne materiale bodočnosti, ker so njihove magnetne lastnosti enakovredne lastnostim spojine $Nd_2Fe_{14}B$, poleg tega pa imajo za 100 do 200°C višjo Curiejevo temperaturo. To velja predvsem za spojino, kjer je redka zemlja $Sm(Sm_2Fe_{17}N_{3-x}, x = 0.3)$, ki ima edina v seriji redkih zemelj preferenčni vektor magnetizacije v smeri c-osi romboedrične struk-

ture, kar je pogoj za doseganje visoke magnetokristalne anizotropije. Za primerjavo navajamo nekaj lastnih magnetnih lastnosti spojine $Nd_2Fe_{14}B$ in $Sm_2Fe_{17}N_x$ ($Nd_2Fe_{14}B$: $T_c = 588$ K, $M_s = 1.60$ T, $H_c = 7.5$ T, $(BH)_{max}$, teor. = 509 kJ/m³; $Sm_2Fe_{17}N_x$: $T_c = 749$ K, $M_s = 1.55$ T, $H_c = 14$ T, $(BH)_{max}$, teor. = 472 kJ/m³).

Izhodna binarna Sm_2Fe_{17} faza, ki se uporablja za pripravo nitrida, se tvori peritektično po reakciji $L + Fe \rightarrow Sm_2Fe_{17}$, kar je vedno povezano s prisotnostjo nezreagiranega prostega Fe in majhnega deleža $SmFe_3$ ali $SmFe_2$ faze v litri mikrostrukturi². Predvsem prosto Fe kot mehkomagnetna

faza onemogoča doseganje optimalne trdomagnetne koercitivnosti, ki je pogoj za uporabo zlitine za permanentne magnete.

Eden od načinov znanih iz sistema Nd-Fe-B za doseganje monofazne zlitine ali pa zlitine, ki poleg osnovne trdomagnetne faze vključuje samo paramagnetne faze, ki ne reagirajo z razmagnetilnim poljem, je poleg homogenizacijskega žarenja in homogenizacije preko vmesne faze tudi fazna modifikacija z dodatkom legirnih elementov^{3,4}. Z dodatkom tretjega elementa (iz skupine prehodnih elementov) lahko vplivamo na fazna ravnovesja tako, da se izognemo primarni tvorbi železa in pri tem poleg $\text{Sm}_2\text{Fe}_{17}$ faze dobimo v litri strukturni še eno od paramagnetnih faz. Dosedanje raziskave so se osredotočile na dodatek Ti in Nb^{5,6}.

Titan tvori sicer antiferomagnethno intermediarno heksagonalno Lavesovo fazo TiFe_2 , vendar z Neelovo temperaturo 272 K, kar pomeni, da bi bila pri sobni temperaturi uporabe v paramagnetnem stanju⁷. Raziskave vpliva Ti na fazna razmerja kažejo, da v ternernem sistemu Sm-Fe-Ti, fazi $\text{Sm}_2\text{Fe}_{17}$ in TiFe_2 ne koeksistirata v termodinamičnem ravnovesju, ampak da so v litri mikrostrukturni vedno prisotne tudi ostale binarne ("kvazitererne") feromagnetne faze. Poleg tega ne obstaja stehiometrična ternerna faza, ki bi tvorila nitrid primeren za permanentne magnete⁵.

Nb tvori Pauli paramagnetno heksagonalno intermediarno Lavesovo fazo NbFe_2 ⁷. Raziskave v sistemu Sm-Fe-Nb kažejo, da obstaja fazno ravnovesje med fazama $\text{Sm}_2\text{Fe}_{17}$ in NbFe_2 tako, da je možno pripraviti lito mikrostrukturo brez prostega Fe ali ostalih feromagnetnih faz⁶. Tako pripravljena zlita je brez dodatnega homogenizacijskega žarenja uporabna za pripravo nitrida.

Naše delo se je osredotočilo na pripravo lite mikrostrukture brez prisotnosti sekundarnih feromagnetnih faz s postopkom fazne modifikacije. Literarni pregled je pokazal, da med prehodnimi elementi z železom tvorijo intermediarne Lavesove faze poleg Ti in Nb tudi Zr, Mo, Hf, W in Ta⁸. Literarnih podatkov o vplivu teh elementov na fazna ravnotežja v sistemu Sm-Fe-M (M = prehodni element) ni.

Glede na to, da sta fazi HfFe_2 in ZrFe_2 feromagnetni in da se fazi WFe_2 in MoFe_2 ne formirata kongruentno⁸, ampak peritektoidno, smo za raziskavo izbrali Ta. Razlogi za to so bili naslednji:

- Ta tvori z železom Pauli paramagnetno intermediarno heksagonalno Lavesovo fazo⁷.
- preiskave v sistemu Sm-Fe-Nb kažejo, da obstaja termodinamsko ravnovesje med $\text{Sm}_2\text{Fe}_{17}$ in NbFe_2 ⁶.
- Nb in Ta tvorita izomorfen sistem s popolno topnostjo v celotnem koncentracijskem območju⁸.
- podobnost faznih diagramov Nb-Fe in Nb-Ta⁹.

Iz teh dejstev smo sklepal, da tudi v sistemu Sm-Fe-Ta obstaja koncentracijsko območje, v katerem sta $\text{Sm}_2\text{Fe}_{17}$ in TaFe_2 fazi v termodinamskem ravnovesju. Tako bi bilo možno pripraviti lito mikrostrukturo brez prostega železa in/ali ostalih feromagnetnih faz, ki bi bila brez nadaljnega homogenizacijskega žarenja pripravljena za nitriranje in s tem za tvorbo nitrida tipa $\text{Sm}_2\text{Fe}_{17}\text{N}_{3-x}$.

2 Eksperimentalno delo

Zlitine nominalne sestave $\text{Sm}_2\text{Fe}_{17-x}\text{Ta}_x$ ($0 < x < 2$, at.%) so bile pripravljene z obločnim pretaljevanjem vzorcev mase 2 g v inertni atmosferi Ar očiščenega s Ti-getterjem.

Za pripravo vzorcev smo uporabili čiste elemente in sicer Sm (99.9%, Johnson Matthey), Fe (99.9%, Ventron) in Ta (99.9%, Plansee). Nominalni sestavi $\text{Sm}_2\text{Fe}_{17-x}\text{Ta}_x$ ($0 < x < 2$) smo dodali predhodno določen prebitek Sm za kompenzacijo izgub z odporevanjem. Vzorci so bili v obločni peči pretaljeni štirikrat, s čimer smo zagotovili mikro in makro homogenost porazdelitve konstituent v pripravljeni zlitini.

Mikrostrukturo smo analizirali na vrstičnem elektronskem mikroskopu (JEOL JXA 840 A SEM/EPMA). Sestava prisotnih faz v zlitini je bila določena z EDX in WDX kvantitativno elektronsko mikroanalizo.

Termomagnetna analiza je bila izvedena z občutljivim magnetometrom-susceptometrom (Manics DSM8, občutljivost reda velikosti 10^{-9} emu/g) v vakuumu in tempera-turnem območju od 300 do 1000 K pri konstantnem magnetnem polju jakosti 2 kOe.

Izotermalna magnetna analiza je potekala v vakuumu pri konstantni temperaturi 550 K v območju jakosti magnetnega polja od 0 do 15 kOe.

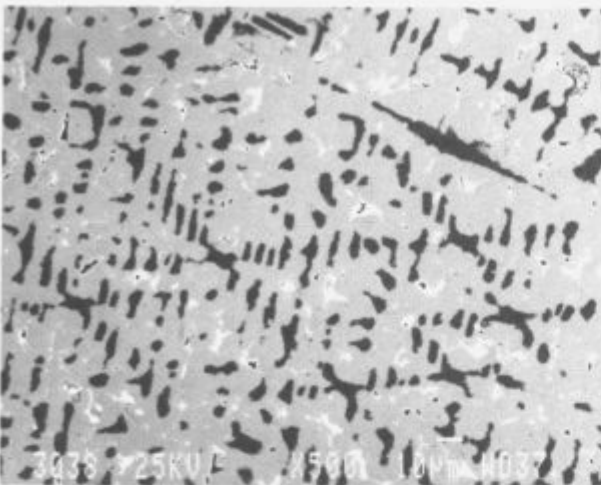
3 Rezultati in diskusija

Primerjava posnetkov mikrostruktur in analiza faz prisotnih v mikrostrukturi vzorcev je pokazala, da se delež faz in njihova sestava spreminja v odvisnosti od vsebnosti Ta v nominalni sestavi $\text{Sm}_2\text{Fe}_{17-x}\text{Ta}_x$. Na sliki 1 je prikazana mikrostruktura zlitine brez dodatka tantala z nominalno sestavo $\text{Sm}_2\text{Fe}_{17}$.

Morfologija mikrostrukture je tipična za lito stanje stehiometrične sestave z dendriti primarno kristaliziranega železa, ki so obdani s peritektično tvorjeno $\text{Sm}_2\text{Fe}_{17}$ fazo in z deležem s Sm bogate faze, ki je bila z WDX analizo identificirana kot SmFe_2 faza. Ugotovitve so v skladu z dejstvom², da je tvorba SmFe_2 faze (ki bi jo glede na fazni diagram pri ravnotežnem ohlajanju pričakovali) zaradi hitrega ohlajanja zavrti zaradi neugodnih kinetičnih pogojev.

Mikrostruktura analiza (podprtta z ugotovitvami termomagnetne analize) je tudi pokazala, da se delež prostega železa in s Sm bogatih faz z naraščajočo vsebnostjo tantalja manjša (slika2). Kvantitativna WDX analiza je potrdila, da dendriti železa vsebujejo do 0.5 at % Ta, kar je v skladu s faznim diagramom Ta-Fe⁹.

Z EDX in WDX analizo je bilo ugotovljeno, da je mikrostruktura vzorca nominalne sestave s 5 at% Ta sestavljena iz dveh faz (slika3). Fazi sta bili identificirani kot $\text{Sm}_2\text{Fe}_{17}$ in TaFe_2 . Glede na relativno veliko vsebnost heksagonalne TaFe_2 faze in njeno dendritsko morfologijo je najverjetnejše optimalna vsebnost Ta za pripravo dvofazne izhodne zlitine za nitriranje nižja kot 5 at. % Ta.



Slika 1: Mikrostruktura $\text{Sm}_2\text{Fe}_{17}$ litine ki prikazuje dendrite primarnega železa (črno), $\text{Sm}_2\text{Fe}_{17}$ fazo (sivo) in SmFe_2 fazo (belo).

Figure 1: An SEM micrograph (SE/BSE Comp. Image) of the $\text{Sm}_2\text{Fe}_{17}$ as-cast alloy showing dendrites of primary Fe (dark), $\text{Sm}_2\text{Fe}_{17}$ (grey) and SmFe_2 (white) phases.



Slika 3: Mikrostruktura $\text{Sm}-\text{Fe}-\text{Ta}$ litine s 5 at.% Ta, ki prikazuje $\text{Sm}_2\text{Fe}_{17}$ (sivo) in TaFe_2 (belo) fazo.

Figure 3: An SEM micrograph (SE/BSE Comp. Image) of the cast $\text{Sm}-\text{Fe}-\text{Ta}$ alloy with 5 at.% of Ta showing $\text{Sm}_2\text{Fe}_{17}$ (grey) and TaFe_2 (white) phases.



Slika 2: Mikrostruktura $\text{Sm}-\text{Fe}-\text{Ta}$ litine z 2 at.% Ta, ki prikazuje $\text{Sm}_2\text{Fe}_{17}$ fazo (sivo), dendrite primarnega železa (črno) in SmFe_2 fazo (belo).

Figure 2: An SEM micrograph (SE/BSE Comp. Image) of the cast $\text{Sm}-\text{Fe}-\text{Ta}$ alloy with 2 at.% of Ta showing $\text{Sm}_2\text{Fe}_{17}$ (grey), Fe (dark), and SmFe_2 (white) phases.

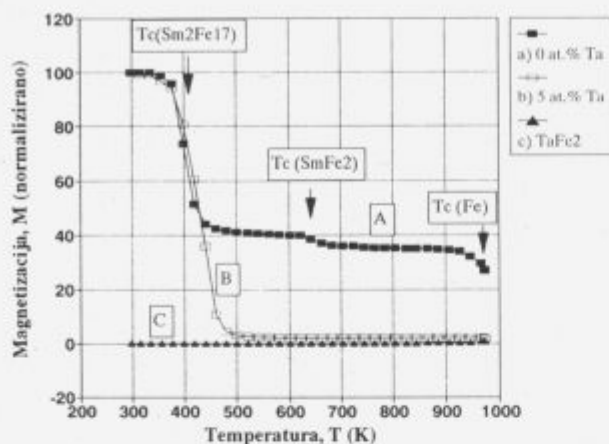
Za kvalitativno potrditev prisotnosti posameznih faz v litri mikrostrukturi je bila dodatno uporabljena termomagnetna analiza za določanje Curiejeve temperature feromagnetnih faz v vzorcu.

Razlika med vzorcem z nominalno sestavo $\text{Sm}_2\text{Fe}_{17}$ in vzorcem s 5 at % Ta je razvidna s slike 4. Na krivulji $M = f(T)$ vzorca brez Ta (slika 4.a) so karakteristična tri kolena, ki ustrezano Curiejevim temperaturam $\text{Sm}_2\text{Fe}_{17}$,

SmFe_2 in Fe faze. Na krivulji, ki predstavlja termomagnetno analizo vzorca s 5 at.% tantal (slika 4.b) lahko opazimo samo koleno, ki ustreza Curiejevi temperaturi $\text{Sm}_2\text{Fe}_{17}$ faze. Kot je bilo pričakovati, je termomagnetna analiza TaFe_2 faze (slika 4.c) potrdila paramagnethno naravo intermedijarne spojine.

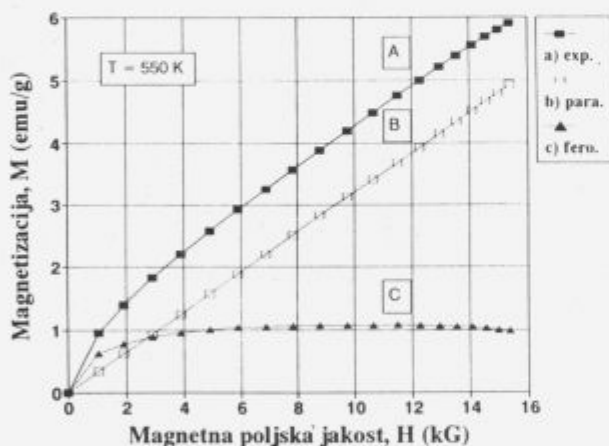
Iz slike 4 je tudi razvidno, da pri vzorcu s 5 at.% Ta pri temperaturah višjih od Curiejeve temperature $\text{Sm}_2\text{Fe}_{17}$ faze ni bilo doseženo popolno paramagnethno stanje zlitine glede na primerjavo z meritvijo TaFe_2 spojine. Zato smo za kvantitativno analizo preostalega prostega železa ali železovih precipitatov, ki bi zaradi nehomogene porazdelitve kot posledice neravnovesnega ohlajanja še lahko bili prisotni v zlitini, uporabili izotermično magnetno analizo. Princip meritve izhaja iz metode, ki sta jo utemeljila Honda¹⁰ in Owen¹¹ za določanje feromagnetnih nečistoč v paramagnethnih vzorcih, v sistemih redke zemlje-prehodne kovine pa jo je uporabil Liu s sodelavci¹².

Na sliki 5 je prikazana tipična $M = f(H)$ krivulja litine s 5 at.% Ta pri temperaturi 550 K. Temperatura, pri kateri je meritev potekala, je nad Curiejevo temperaturo $\text{Sm}_2\text{Fe}_{17}$ faze, tako da je njen prispevek k celotni izmerjeni magnetizaciji vzorca paramagneten. Za izračun vsebnosti preostalega prostega železa ali železovih precipitatov v merjeni zlitini smo ločili feromagneten (slika 5.c) in paramagneten (slika 5.b) prispevek k izmerjeni magnetizaciji vzorca (slika 5.a) s predpostavko, da so prosto železo oz. železovi precipitati dovolj veliki, da z magnetnim poljem ne interagirajo superparamagnethno, da so pri jakostih magnetnega polja nad 8 kG magnetno nasičeni in da je glede na majhno topnost Ta v Fe (0.5 at%) njihova magnetizacija približno enaka magnetizaciji čistega železa.



Slika 4: Normalizirane termomagnetne krivulje za a) litino $\text{Sm}_2\text{Fe}_{17}$, b) litino Sm-Fe-Ta s 5 at% Ta in c) litino TaFe_2 .

Figure 4: Normalized thermomagnetic curves for a) as-cast Ta free $\text{Sm}_2\text{Fe}_{17}$ alloy, b) as-cast Sm-Fe-Ta alloy with 5 at.% of Ta and c) TaFe_2 as-cast alloy.



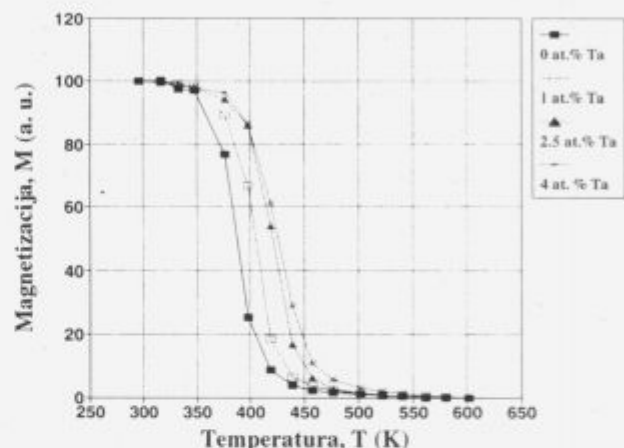
Slika 5: Magnetizacija Sm-Fe-Ta litine s 5 at. % Ta v odvisnosti od jakosti magnetnega polja pri 550 K. Krivulje predstavljajo a) izmerjeno magnetizacijo vzorca, b) paramagnetski prispevek, c) feromagnetski prispevek.

Figure 5: Magnetization as a function of applied field of the as-cast Sm-Fe-Ta alloy with 5 at.% of Ta measured at 550 K. The curves show a) measured magnetization of the sample, b) paramagnetic contribution, c) ferromagnetic contribution.

Feromagneten prispevek k izmerjeni magnetizaciji vzorca znaša 1.04 emu/g. Izračun je pokazal (pri upoštevanju magnetizacije čistega železa pri temperaturi 550 K, ki je 208 emu/g¹³), da je preostalega železa v zlitini s 5 at.% Ta 0.5 ut%. Gleda na to, da železo topi 0.5 at % Ta s čimer se nasičena magnetizacija zmanjša, je najverjetnejše, da je celotna vsebnost prostega železa v vzorcu še nižja.

Termomagneta analiza je pokazala tudi naraščanje Curiejeve temperature v odvisnosti od naraščanja vsebnosti

Ta v $\text{Sm}_2\text{Fe}_{17}$ fazi, kar je razvidno iz slike 6. Rezultat nakazuje, da obstaja določena trdna topnost Ta tudi v $\text{Sm}_2\text{Fe}_{17}$ fazi, ki vpliva na spremembo Fe-Fe medatomskih razdalj, kar zaradi vpliva na Fe-Fe izmenjalno interakcijo oziroma Fe-Fe koeficient molekularnega polja (n_{FF}), vodi k povečanju Curiejeve temperature $\text{Sm}_2\text{Fe}_{17}$ faze.



Slika 6: Termomagnetne krivulje normalizirane glede na Curiejevo temperaturo $\text{Sm}_2\text{Fe}_{17}$ faze za Sm-Fe-Ta litine z a) 1, b) 2 in c) 4 at. % Ta.

Figure 6: Thermomagnetic curves normalized with respect to $\text{Sm}_2\text{Fe}_{17}$ phase for as-cast Sm-Fe-Ta alloys with a) 0, b) 1, c) 2.5 and d) 4 at.% of Ta.

4 Sklepi

Opisan je postopek za pripravo zlitine, ki vitem stanju poleg $\text{Sm}_2\text{Fe}_{17}$ faze primerne za pripravo trdomagnetne spojine $\text{Sm}_2\text{Fe}_{17}\text{N}_{1-x}$, vsebuje samo še Pauli paramagnetsko TaFe_2 heksagonalno Lavesovo fazo. Modifikacija strjevanja je bila dosežena z dodatkom 5 at.% tantala, ki v nominalni sestavi $\text{Sm}_2\text{Fe}_{17}$ zamenjuje železo. Z izotermično magnetno analizo je bilo pokazano, da je vsebnost železa in ostalih potencialnih mehkomagnetnih faz, ki so posledica nehomogenosti, nižja od 0.5 ut. %.

Pokazali smo tudi, da dodatek Ta v zlitini zaradi določene trdne topnosti povzroči naraščanje Curiejeve temperature $\text{Sm}_2\text{Fe}_{17}$ faze.

5 Literatura

- Coey, J.M.D., Sun, H., J. Mag. Mag. Mat. 87, (1990), L251.
- Buschow, K.H.J., J. Less Comm. Met., 25, (1971), 131.
- Zhang, X., Ph. D. Thesis, University of Birmingham,

(1992).

- ⁴ Liu, W.L., Liang, Y.L., Ma, B.M., Bounds, C.O., IEEE Trans. Magn., 28, (1992), 2154.
- ⁵ Reinsch, B., Grieb, B., Henig, E.T., Petzow, G., IEEE Trans. Magn., 28, (1992), 2832.
- ⁶ Platts, A.E., Harris, I.R., Coey, J.M.D., J. Alloys Comp., 185, (1992), 251.
- ⁷ Ikeda, K., Nakamichi, T., J. Phys. Soc. Jap., 39, (1975), 963.
- ⁸ Massalski, T., Binary Alloy Phase Diagrams, ASM Int., Materials Park, Ohio, (1990).
- ⁹ Kubaschewski, O., Iron-Binary Phase Diagrams, Springer, Berlin, (1982).
- ¹⁰ Honda, K., Ann. Physik, 32, (1910), 1027.
- ¹¹ Owen, M., Ann. Physik, 37, (1912), 657.
- ¹² L. Yi et all, Proc. 12 th International Workshop on Rare-Earth Magnets and their Applications, Canberra, July 1992, 360.
- ¹³ Gmelins, Handbuch der Anorganischen Chemie, Nr.:59, Magnetische Werkstoffe, Verlag Chemie, Weinheim, 1959.